

非線形 LC 回路

徳大工電子 川上博

1. はじめに

この報告では非線形 LC 回路が Hamiltonian 系となることを示したい。すなわち有限個のインダクタおよびキャパシタからなる任意の回路においては、Kirchhoff の法則による状態変数の拘束の一部が (i) キャパシタ電圧 v_γ 間 (あるいはインダクタ電流 i_λ 間) の scleronomic constraints: $f(v_\gamma) = 0$ (あるいは $f(i_\lambda) = 0$) として、また (ii) キャパシタに蓄えられる電荷 q_γ (あるいはインダクタと鎖交する磁束 ϕ_λ) の保存則、すなわち運動の角 1 積分: $f(q_\gamma) = 0$ (あるいは $f(\phi_\lambda) = 0$) とみなされる結果、回路のダイナミクスは キャパシタに蓄えられる電荷 $q_\gamma \in \mathbb{R}^\gamma$ と インダクタの鎖交磁束 $\phi_\lambda \in \mathbb{R}^\lambda$ のつくる状態空間 $\mathbb{R}^\gamma \times \mathbb{R}^\lambda$ 内において、上体の (i) は「是まる多様体上の」更に (ii) は「是まる積分多様体内の」Hamiltonian 系として記述されることとなる。

結果は具体的な coordinates を使用して示した。以下に

節では記号の説明、Kirchhoff の法則を記述する際の座標系
α とリ方などについてよく知られた結果を述べる。記法は R.A.
Rohrer [1] の 14 章にしたがった。

回路は連結しているものとし、素子の総数(枝の数)を b ,
グラフとみなしたときの節点の数を n とする。

キャパシタの総数: γ

$$b = \gamma + \lambda$$

インダクタの総数: λ

枝電流 $i \in \mathbb{R}^b$ } これらは適当に分割表現 i を示すことがある:
枝電圧 $v \in \mathbb{R}^b$ } $i = [i_r], i_r = [i_c], i_c = [i_{c1}, i_{c2}]$ など。

(1.1) Kirchhoff α 法則

$$Q_i = 0$$

$$B v = 0$$

適当な tree の選択と枝の番号付けを行ふと、その tree から
先まる座標系 α

$$Q = [I : F], \quad B = [-F' : I]$$

の形で表現される、ニニに $'$ は転置を表わす。以下では
次の性質を持つ tree を使用する。これはキャパシタ(あるいは
インダクタ)の上からなる loop および cutset を数えあげた
めである。

(i) C-normal tree:

キャパシタ素子をできるだけ多く tree branches に含む tree のこと。

(ii) L-normal tree:

インダクタ素子をできるだけ多く tree branches に含む tree のこと。

今 1つの C-normal tree を選んで固定したとする。このとき次の性質を持つ L-normal tree が存在する:

(性質) C-normal tree における tree inductors や link capacitors を入れぞれ L-normal tree の tree inductors や link capacitors に含む。

次に C-normal tree, L-normal tree との上の性質を持つ pair を 1組選んで、キャパシタ、インダクタを次表のようにな分割して考える。表中たとえば n_{C1} は C-normal tree の座標系では tree に含まれ、L-normal tree には座標系では link 1 に含まれるキャパシタの個数を表わす。これらの個数はもちろん具体的な tree の選択にはよらない。

C-normal tree	tree branches		cotree links	
capacitors	n_{C1}	n_{C2}	n_S	n_L
inductors		n_T	n_{L1}	n_{L2}
L-normal tree	cotree links	tree branches		cotree links

二本の trees を用いた Kirchhoff の法則の表現は

(i) C-normal tree を用いて $Q_C i = 0, B_C v = 0$:

$$\text{tree capacitors } (C_1): \quad i_{C1} + F_{C1S} i_S + F_{C1L2} i_{L2} + F_{C1L1} i_{L1} = 0$$

$$(C_2): \quad i_{C2} + F_{C2S} i_S + F_{C2L2} i_{L2} + F_{C2L1} i_{L1} = 0$$

$$\text{tree inductors } (\Gamma): \quad i_\Gamma + F_{\Gamma L2} i_{L2} + F_{\Gamma L1} i_{L1} = 0$$

$$\text{link capacitors } (S): \quad v_S - F'_{C1S} v_{C1} - F'_{C2S} v_{C2} = 0$$

$$\text{link inductors } (L_2): \quad v_{L2} - F'_{C1L2} v_{C1} - F'_{C2L2} v_{C2} - F'_{\Gamma L2} v_\Gamma = 0$$

$$(L_1): \quad v_{L1} - F'_{C1L1} v_{C1} - F'_{C2L1} v_{C2} - F'_{\Gamma L1} v_\Gamma = 0$$

(ii) L-normal tree を用いて $Q_L i = 0, B_L v = 0$:

$$\text{tree inductors } (L_1): \quad i_{L1} + N_{L1L2} i_{L2} + N_{L1S} i_S + N_{L1C1} i_{C1} = 0$$

$$(\Gamma): \quad i_\Gamma + N_{\Gamma L2} i_{L2} + N_{\Gamma S} i_S + N_{\Gamma C1} i_{C1} = 0$$

$$\text{tree capacitors } (C_2): \quad i_{C2} + N_{C2S} i_S + N_{C2C1} i_{C1} = 0$$

$$\text{link inductors } (L_2): \quad v_{L2} - N'_{L1L2} v_{L1} - N'_{\Gamma L2} v_\Gamma = 0$$

$$\text{link capacitors } (S): \quad v_S - N'_{L1S} v_{L1} - N'_{\Gamma S} v_\Gamma - N'_{C2S} v_{C2} = 0$$

$$(C_1): \quad v_{C1} - N'_{L1C1} v_{L1} - N'_{\Gamma C1} v_\Gamma - N'_{C2C1} v_{C2} = 0$$

なお 行列 Q, B について tree の選択方によらず次の直交性
が成り立つことに注意する:

$$Q_C B_L' = 0, \quad B_C Q_L' = 0$$

これより

$$I - F_{C1L1} N_{L1C1} = 0$$

$$F_{C1L2} - F_{C1L1} N_{L1L2} = 0$$

$$F'_{C2L1} + F'_{C1L1} N'_{C2C1} = 0$$

$$N'_{PL2} - F'_{PL2} + N'_{L1L2} F'_{PL1} = 0$$

$$N_{C2S} - F_{C2S} - N_{C2C1} F_{C1S} = 0$$

左辺の関係式を得る。

以上より結果をまとめ C-normal tree に基づく Kirchhoff 法則として次の表現を得る：

circuit dynamics:

$$\text{tree capacitors } (C_1): \quad i_{C1} + F_{C1S} i_S + F_{C1L1} (i_{L1} + N_{L1L2} i_{L2}) = 0$$

$$\text{link inductors } (L_1): \quad v_{L1} - F'_{PL1} v_\Gamma - F'_{C1L1} (v_{C1} - N'_{C2C1} v_{C2}) = 0$$

first integrals:

$$\text{tree capacitors } (C_2): \quad i_{C2} + F_{C2S} i_S + N_{C2C1} (i_{C1} + F_{C1S} i_S) = 0$$

$$\text{link inductors } (L_2): \quad v_{L2} - F'_{PL2} v_\Gamma - N'_{L1L2} (v_{L1} - F'_{PL1} v_\Gamma) = 0$$

holonomic scleronomic constraints

$$\text{tree inductors } (\Gamma): \quad i_\Gamma + F_{PL2} i_{L2} + F_{PL1} i_{L1} = 0$$

$$\text{link capacitors } (S): \quad v_S - F'_{C1S} v_{C1} - F'_{C2S} v_{C2} = 0$$

2. 非線形 LC 回路の回路方程式

(2.1) キャパシタ特性

キャパシタの枝電圧を $U_C = (U_{C1}, U_{C2}, U_S) \in \mathbb{R}^{n_c} = \mathbb{R}^{n_{c1}} \times \mathbb{R}^{n_{c2}} \times \mathbb{R}^{n_s}$, 蓄積された電荷を $q_C = (q_{C1}, q_{C2}, q_S) \in \mathbb{R}^{n_c} = \mathbb{R}^{n_{c1}} \times \mathbb{R}^{n_{c2}} \times \mathbb{R}^{n_s}$ としたとき, キャパシタ特性 Λ_Q は (U_C, q_C) $\in \mathbb{R}^{n_c} \times \mathbb{R}^{n_c}$ 空間のなめらかな n_c 次元多様体である。通常キャパシタ特性 Λ_Q は U_C, q_C のどちらを用いても global 1= 徑数表現ができるものと仮定される。したがって diffeomorphisms

$$\begin{aligned}\hat{U}_C : \mathbb{R}^{n_c} &\longrightarrow \mathbb{R}^{n_c} \\ q_C &\longmapsto U_C = \hat{U}_C(q_C)\end{aligned}$$

あるいは $\hat{q}_C : \mathbb{R}^{n_c} \longrightarrow \mathbb{R}^{n_c}$

$$U_C \longmapsto q_C = \hat{q}_C(U_C)$$

のどちらかでキャパシタ特性をあらわすことにする。前者の表現を電荷制御型, 後者のそれを電圧制御型キャパシタと呼ぶ。特に \hat{q}_C (あるいは \hat{U}_C) の Jacobi 行列 $\frac{\partial \hat{q}_C}{\partial U_C}$ (あるいは $\frac{\partial \hat{U}_C}{\partial q_C}$) が各卓で対称正值行列となるのが物理的に自然なキャパシタの特性である。

キャパシタを流れる電流 $i_C \in \mathbb{R}^{n_c}$ は蓄積電荷 q_C の時間的変化:

$$i_C = \frac{dq_C}{dt} = \dot{q}_C$$

で定義される。これは Λ_Q の動作用量の接ベクトルと考えられる。

(2.2) インダクタ特性

キャパシタと同様なやり方で定義される。インダクタを流れる電流を $i_L = (i_{L1}, i_{L2}, i_r) \in \mathbb{R}^{n_L} = \mathbb{R}^{n_{L1}} \times \mathbb{R}^{n_{L2}} \times \mathbb{R}^{n_r}$, 鎮立磁束を $\phi_L = (\phi_{L1}, \phi_{L2}, \phi_r) \in \mathbb{R}^{n_L} = \mathbb{R}^{n_{L1}} \times \mathbb{R}^{n_{L2}} \times \mathbb{R}^{n_r}$ とすると、インダクタ特性 Λ_Ψ は $(i_L, \phi_L) \in \mathbb{R}^{n_L} \times \mathbb{R}^{n_L}$ 空間の n_L 次元多様体である。キャパシタ同様 diffeomorphisms

$$\begin{aligned}\hat{i}_L &: \mathbb{R}^{n_L} \rightarrow \mathbb{R}^{n_L} \\ \phi_L &\mapsto i_L = \hat{i}_L(\phi_L)\end{aligned}$$

あるいは $\hat{\phi}_L : \mathbb{R}^{n_L} \rightarrow \mathbb{R}^{n_L}$

$$\begin{aligned}i_L &\mapsto \phi_L = \hat{\phi}_L(i_L)\end{aligned}$$

のいずれかで特性を表わすことにする。通常のインダクタでは $\hat{\phi}_L$ (あるいは \hat{i}_L) の Jacobi 行列は対称正値となる。

インダクタ電圧 $v_L \in \mathbb{R}^{n_L}$ は鎮立磁束 ϕ_L の時間微分:

$$v_L = \frac{d\phi_L}{dt} = \dot{\phi}_L$$

として定義される。

(2.3) 二の報告ではキャパシタ特性、インダクタ特性として次の様な簡単な場合を考える。

(i) キャパシタ特性は電荷制御型である:

$$v_{c1} = \hat{v}_{c1}(q_{c1}), v_{c2} = \hat{v}_{c2}(q_{c2}), v_s = \hat{v}_s(q_s)$$

$$\text{また } \hat{v}_{c1}: \mathbb{R}^{n_{c1}} \rightarrow \mathbb{R}^{m_{c1}}, \hat{v}_{c2}: \mathbb{R}^{n_{c2}} \rightarrow \mathbb{R}^{m_{c2}}, \hat{v}_s: \mathbb{R}^{n_s} \rightarrow \mathbb{R}^{m_s}$$

の各 Jacobi 行列は各卓で対称正値とする。

(ii) イニタクタは磁束制御型である:

$$i_{L1} = \hat{i}_{L1}(\phi_{L1}), i_{L2} = \hat{i}_{L2}(\phi_{L2}), i_r = \hat{i}_r(\phi_r)$$

$$\text{また } \hat{i}_{L1}: \mathbb{R}^{n_{L1}} \rightarrow \mathbb{R}^{m_{L1}}, \hat{i}_{L2}: \mathbb{R}^{n_{L2}} \rightarrow \mathbb{R}^{m_{L2}}, \hat{i}_r: \mathbb{R}^{n_r} \rightarrow \mathbb{R}^{m_r}$$

の各 Jacobi 行列は各卓で対称正値とする。

(註1) キャリオニタ、イニタクタの特性を上のようには使用するtreeに依存する特性と考えるのは自然でないが、ここでは考え方を述べる意味でこのようにした。もっと一般的な特性も同様を扱いや可能である。

(註2) 特性の Jacobi 行列が対称正値行列となる仮定はキャリオニタ、イニタクタに蓄えられるエネルギー関数がうまく定義がまる条件となる。すなわち次の(2.5)で定義されるエネルギー関数が積分路のとり方によらず端点の関数とじて定まる条件である。

(2.4) 次の状態変数を定義しておく:

$$q_1 \triangleq q_{c1} + F_{c1s} q_s$$

$$q_2 \triangleq q_{c2} + F_{c2s} q_s$$

$$\phi_1 \triangleq \phi_{L1} - F'_{PL1} \phi_r$$

$$\phi_2 \triangleq \phi_{L2} - F'_{PL2} \phi_r$$

$$q_0 \triangleq q_2 + N_{C2C1} q_1$$

$$\phi_0 \triangleq \phi_2 - N'_{L1L2} \phi_1$$

これらの変数を用いて Kirchhoff の法則は次のように書きあらわれれる。

circuit dynamics:

$$\text{tree capacitors } (C_1): \quad \dot{q}_1 = - F_{C1L1}(i_{L1} + N_{L1L2} i_{L2})$$

$$\text{link inductors } (L_1): \quad \dot{\phi}_1 = F'_{C1L1}(v_{C1} - N'_{C2C1} v_{C2})$$

first integrals:

$$\text{tree capacitors } (C_2): \quad \dot{q}_0 = \dot{q}_2 + N_{C2C1} \dot{q}_1 = 0$$

$$\text{link inductors } (L_2): \quad \dot{\phi}_0 = \dot{\phi}_2 - N'_{L1L2} \dot{\phi}_1 = 0$$

holonomic scleronomic constraints:

$$\hat{i}_{\Gamma}(\phi_{\Gamma}) + F_{\Gamma L2} \hat{i}_{L2}(\phi_{L2}) + F_{\Gamma L1} \hat{i}_{L1}(\phi_{L1}) = 0$$

$$\hat{v}_S(q_S) - F'_{C1S} \hat{v}_{C1}(q_{C1}) - F'_{C2S} \hat{v}_{C2}(q_{C2}) = 0$$

(2.5) Hamiltonian の計算

キルヒhoff に蓄えられるエネルギー $W_E(q_c)$ は次のように計算される。

$$W_E: \mathbb{R}^{\gamma} \rightarrow \mathbb{R}$$

$$q_c \mapsto W_E(q_c)$$

$$\begin{aligned} W_E(q_c) &= \int_{q_c}^{q_c} \langle \underline{v}_c, d\underline{q}_c \rangle = \int \langle \underline{v}_{c1}, d\underline{q}_{c1} \rangle + \langle \underline{v}_{c2}, d\underline{q}_{c2} \rangle + \langle \underline{v}_s, d\underline{q}_s \rangle \\ &= \int \langle \underline{v}_{c1}, dq_1 \rangle + \langle \underline{v}_{c2}, dq_2 \rangle + \langle \underline{v}_s - F'_{C1S} \underline{v}_{c1} - F'_{C2S} \underline{v}_{c2}, dq_s \rangle \end{aligned}$$

$$= \int_{\mathcal{Q}_1}^{\mathcal{Q}_1} \langle (\dot{q}_{c1} - N'_{C2C1} \dot{q}_{c2}), dq_1 \rangle$$

同様に 1-2-3-4 に蓄えられるエネルギー $W_M: \mathbb{R}^\lambda \rightarrow \mathbb{R}$ は

$$\begin{aligned} W_M(\phi_L) &= \int_{\mathcal{Q}_L}^{\phi_L} \langle \dot{i}_L, d\phi_L \rangle = \int \langle \dot{i}_{L1}, d\phi_{L1} \rangle + \langle \dot{i}_{L2}, d\phi_{L2} \rangle + \langle \dot{i}_r, d\phi_r \rangle \\ &= \int \langle \dot{i}_{L1}, d\phi_1 \rangle + \langle \dot{i}_{L2}, d\phi_2 \rangle + \langle \dot{i}_r + F_{PL2} \dot{i}_{L2} + F_{PL1} \dot{i}_{L1}, d\phi_r \rangle \\ &= \int \langle (\dot{i}_{L1} + N_{L1L2} \dot{i}_{L2}), d\phi_1 \rangle \end{aligned}$$

したがって 回路の全エネルギー $H: \mathbb{R}^\gamma \times \mathbb{R}^\lambda \rightarrow \mathbb{R}$ を
次式で定義すれば この回路の Hamiltonian を呼ぶこと
である。

$$\begin{aligned} H(q_C, \phi_L) &\triangleq W_E(q_C) + W_M(\phi_L) = H(q_1, \phi_1) \\ &= \int \langle (\dot{q}_{c1} - N'_{C2C1} \dot{q}_{c2}), dq_1 \rangle + \langle (\dot{i}_{L1} + N_{L1L2} \dot{i}_{L2}), d\phi_1 \rangle \end{aligned}$$

この二つから

$$\dot{q}_{c1} - N'_{C2C1} \dot{q}_{c2} = H_{q_1}$$

$$\dot{i}_{L1} + N_{L1L2} \dot{i}_{L2} = H_{\phi_1}$$

$$\text{EE} \quad H_{q_1} \triangleq D_1 H(q_1, \phi_1) = \frac{\partial H}{\partial q_1} \text{ を表わす。}$$

$$H_{\phi_1} \triangleq D_2 H(q_1, \phi_1) = \frac{\partial H}{\partial \phi_1}$$

(2.6) 回路方程式

また(2.4)のKirchhoffの法則において tree capacitors

(G) の個数 n_{C1} と link inductors (L_1) の個数 n_{L1}
が等しいことに注意する: $n_{C1} = n_{L1}$

なぜなら Kirchhoff の法則を記述するための tree の始め方から
明らかのように tree capacitors (C_1) に属するキャパシタの数 "cut-set" はつくれない; すなわち $\text{rank } F_{C1L1} \geq n_{C1} \Rightarrow n_{L1} \geq n_{C1}$.
同様に link inductors (L_1) に属するインダクタの数 "loop" をつくることはない; すなわち $\text{rank } F'_{C1L1} \geq n_{L1} \Rightarrow n_{C1} \geq n_{L1}$. よって $n_{C1} = n_{L1}$.

(2.4), (2.5) より回路方程式は

$$\begin{bmatrix} \dot{q}_1 \\ \dot{\phi}_1 \end{bmatrix} = \begin{bmatrix} 0 & -F_{C1L1} \\ F'_{C1L1} & 0 \end{bmatrix} \begin{bmatrix} H_{q_1} \\ H_{\phi_1} \end{bmatrix}$$

ここで行列 F_{C1L1} は $n \times n$ ($n = n_{C1} = n_{L1}$) の正則行列である。

(注) Q, B の直交性より $F_{C1L1} N_{L1C1} = I$, F_{C1L1} は正則だから
 $F_{C1L1}^{-1} = N_{L1C1}$. 今 $\begin{bmatrix} u \\ v \end{bmatrix} = \begin{bmatrix} 0 & I \\ F_{C1L1}^{-1} & 0 \end{bmatrix} \begin{bmatrix} q_1 \\ \phi_1 \end{bmatrix}$ なる変数変換
を施すと上で求めた回路方程式は正準形となる:

$$\begin{bmatrix} \dot{u} \\ \dot{v} \end{bmatrix} = \begin{bmatrix} 0 & I \\ -I & 0 \end{bmatrix} \begin{bmatrix} H_u \\ H_v \end{bmatrix}$$

(2.7) Mixed potential による回路方程式の表現

キャパシタ、インダクタの特性がそれぞれ電圧制御型、電流制御型の場合には次のように Mixed potential 関数が定義でき回路方程式を得る。

$$\mathbb{R}^{\gamma} \times \mathbb{R}^{\lambda} \text{ 上の } 1\text{-form } \zeta = \langle i_r, dU_r \rangle - \langle U_{\lambda}, di_{\lambda} \rangle$$

(U_c, i_L) を考える。計算すると

$$\begin{aligned} \zeta &= \langle i_r, dU_r \rangle - \langle U_{\lambda}, di_{\lambda} \rangle \\ &= \langle (i_{c1} + F_{c1s} i_s), dU_{c1} \rangle + \langle (i_{c2} + F_{c2s} i_s), dU_{c2} \rangle \\ &\quad - \langle (U_{L1} - F'_{rL1} U_r), di_{L1} \rangle - \langle (U_{L2} - F'_{rL2} U_r), di_{L2} \rangle \\ &= -d [\langle F_{c1L1} (i_{L1} + N_{L1L2} i_{L2}), (U_{c1} - N'_{c2c1} U_{c2}) \rangle] \end{aligned}$$

ここで "混合オテンション" 関数

$$\begin{aligned} P: \mathbb{R}^{\gamma} \times \mathbb{R}^{\lambda} &\longrightarrow \mathbb{R} \\ (U_c, i_L) &\longmapsto P(U_c, i_L) \end{aligned}$$

$$P(U_c, i_L) = \int \zeta = - \langle F_{c1L1} (i_{L1} + N_{L1L2} i_{L2}), (U_{c1} - N'_{c2c1} U_{c2}) \rangle$$

が定義できる。他方

$$i_c + F_{cs} i_s = \frac{d}{dt} [\hat{q}_c(U_c) + F_{cs} \hat{q}_s(U_s)] = C(U_c) \frac{dU_c}{dt}$$

$$U_L - F'_{rL} U_r = \frac{d}{dt} [\hat{\phi}_L(i_L) - F'_{rL} \hat{\phi}_r(i_r)] = L(i_L) \frac{di_L}{dt}$$

$$EEC \quad C(U_c) \triangleq \frac{\partial \hat{q}_c}{\partial U_c} + F_{cs} \frac{\partial \hat{q}_s}{\partial U_s} F'_{cs}$$

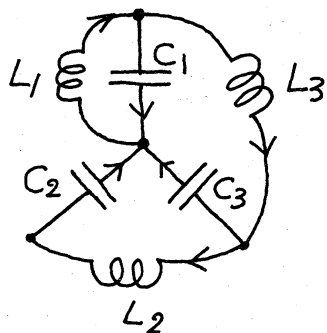
$$L(i_L) \triangleq \frac{\partial \hat{\phi}_L}{\partial i_L} + F'_{rL} \frac{\partial \hat{\phi}_r}{\partial i_r} F_{rL}$$

これらの関係式と混合ポテンシャル関数を用いて、回路方程式は(2.4)より

$$\begin{bmatrix} C(u_c) & 0 \\ 0 & -L(i_L) \end{bmatrix} \begin{bmatrix} \dot{u}_c \\ \dot{i}_L \end{bmatrix} = \begin{bmatrix} P_{u_c} \\ P_{i_L} \end{bmatrix}$$

となる。ここで「は回路のオイラー積分を特に取り出す」を表現した。したがって上の回路方程式の階数は $n_c + n_L = (n_{C1} + n_{C2}) + (n_{L1} + n_{L2})$ である。

(2.8) 簡単な例



左図のようを簡単な例を考えよう。
この場合は拘束条件もオイラー積分もなく
回路方程式は Kirchhoff の法則と
素子特性からたてばちに求められる。

C-normal tree は Kirchhoff

の法則は

$$\begin{array}{ll} i_{C1} - i_{L1} + i_{L3} = 0 & u_{L1} + u_{C1} = 0 \\ i_{C2} - i_{L2} = 0 & u_{L2} + u_{C2} - u_{C3} = 0 \\ i_{C3} + i_{L2} - i_{L3} = 0 & u_{L3} - u_{C1} + u_{C3} = 0 \end{array}$$

したがって $F_{C1L1} = \begin{bmatrix} -1 & 0 & 1 \\ 0 & -1 & 0 \\ 0 & 1 & -1 \end{bmatrix}$. また N-normal tree は

$$N_{L1C1} = F_{C1L1}^{-1} = \begin{bmatrix} -1 & -1 & -1 \\ 0 & -1 & 0 \\ 0 & 1 & -1 \end{bmatrix}.$$

左) ポリニ特性: $v_{c1} = g_1(q_{c1}, q_{c2}, q_{c3})$, $v_{c2} = g_2(q_{c1}, q_{c2}, q_{c3})$, $v_{c3} = g_3(q_{c1}, q_{c2}, q_{c3})$

右) ニタ特性: $i_{L1} = f_1(\phi_{L1}, \phi_{L2}, \phi_{L3})$, $i_{L2} = f_2(\phi_{L1}, \phi_{L2}, \phi_{L3})$, $i_{L3} = f_3(\phi_{L1}, \phi_{L2}, \phi_{L3})$

と仮定する ($g_i, f_i \quad i=1, 2, 3$ の Jacobi 行列は対称正値とする) と

系のエネルギー関数 $H(q_c, \phi_L)$ は

$$\begin{aligned} H(q_c, \phi_L) &= \int_0^{q_c, \phi_L} \langle v_c, dq_c \rangle + \langle i_L, d\phi_L \rangle \\ &= \int_0^{q_{c3}} \sum_{i=1}^3 g_i dq_{ci} + \int_0^{\phi_{L3}} \sum_{i=1}^3 f_i d\phi_{Li} \end{aligned}$$

この積分は上の仮定 (Jacobi 行列の対称性) により積分路が 1 本存在する。

回路方程式といふ

$$\frac{d}{dt} \begin{bmatrix} q_{c1} \\ q_{c2} \\ q_{c3} \\ \vdots \\ \phi_{L1} \\ \phi_{L2} \\ \phi_{L3} \end{bmatrix} = \begin{bmatrix} & 1 & 0 & -1 \\ 0 & & 0 & 1 & 0 \\ 0 & & 0 & -1 & 1 \\ \vdots & & \vdots & \vdots & \vdots \\ -1 & 0 & 0 & & \\ 0 & -1 & 1 & & 0 \\ 1 & 0 & -1 & & \end{bmatrix} \begin{bmatrix} Hq_{c1} \\ Hq_{c2} \\ Hq_{c3} \\ H\phi_{L1} \\ H\phi_{L2} \\ H\phi_{L3} \end{bmatrix}$$

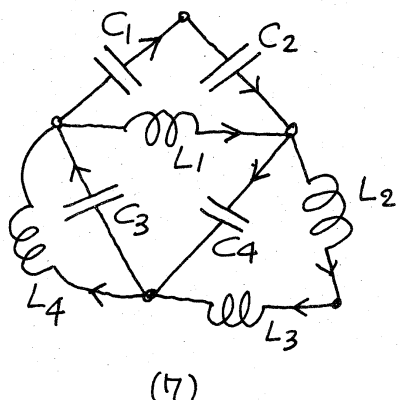
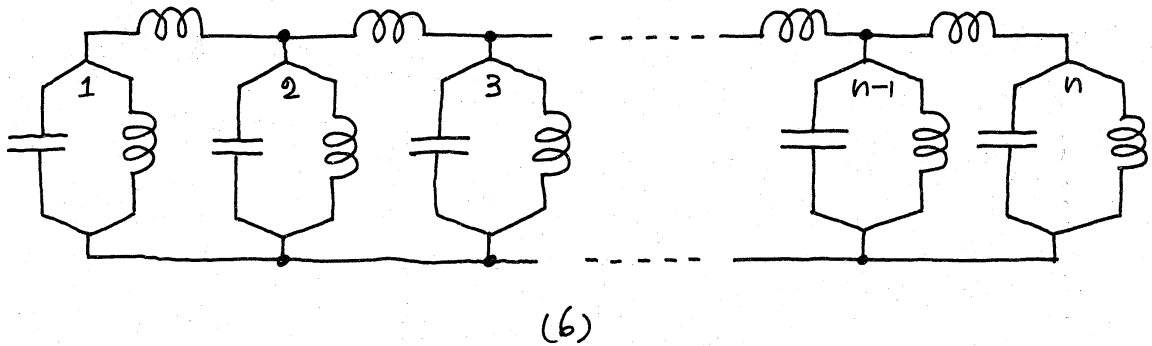
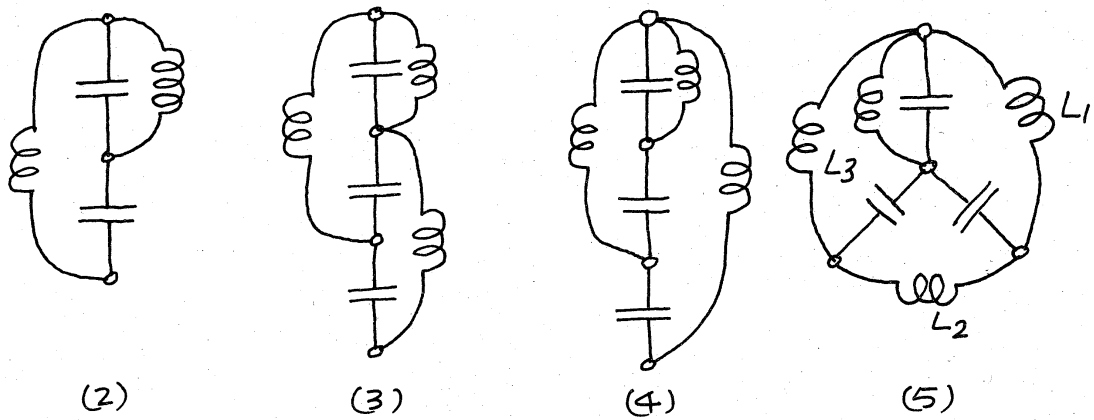
を得る。変数変換 $U = \phi_L$, $V = N \mathbf{L} \mathbf{C}^{-1} q_c$ により正準形を得る。

次の頁にいくつかの LC 回路の例をあげた。

(2) ~ (4) は上記の例と同様な回路である。

(5) は 1 個のオーバル = L_1, L_2, L_3 からなる loop の電圧則が存在する例

(6) は (5) 同様 ($n-1$) 口の 1 つ以上の loop があり 回路方程式は $2n$ 項とある例である。



(7) の 1 つ目 で は

$$\begin{aligned} \text{オイレンベラ: } & \dot{q}_{C1} - \dot{q}_{C2} = 0 \\ & \sum_{i=1}^4 \dot{\phi}_{L_i} = 0 \end{aligned}$$

holonomic constraints:

$$\begin{aligned} & \dot{c}_{L2} - \dot{c}_{L3} = 0 \\ & \sum_{i=1}^4 \dot{v}_{ci} = 0 \end{aligned}$$

1 = 51 回路方程式 または 4 頂点とある。

3. まとめ

非線形 LC 回路の回路方程式を Kirchhoff の法則から直接導出し、それが "Hamiltonian 系" となることをみた。LC 回路に抵抗素子を加えていわゆる 振動回路を構成し、抵抗素子の項が回路方程式の差式化にどう影響するかを検討することは興味ある問題と思われる。

文献

- [1] R. A. Rohrer: 回路理論 学術社
- [2] C-normal tree, L-normal tree についてたとえば
渡部和: 線形回路理論 第1章 昭晃堂 参照。